

## An evidence for a potassium channel in endoplasmic reticulum based on single channel recording in bilayer lipid membrane

Hamid Sepehri<sup>1</sup>, Afsaneh Eliassi<sup>1\*</sup> and Reza Saghiri<sup>2</sup>

<sup>1</sup>Physiology Dept. & Neurosci. Res. Center, Fac. Med., Shaheed Beheshti Med. Sci. Univ.

<sup>2</sup>Pasteur Institute, Biochemistry Dept.

### Abstract

**Introduction** Numerous studies have demonstrated the presence of potassium selective channels in membranes of internal organelles. These channels are essential to a large variety of cellular processes including intracellular  $\text{Ca}^{2+}$  signaling, protein recycling, charge neutralization and cell protection. In contrast to the sarcoplasmic reticulum where potassium channels have been clearly identified, there is little evidence for  $\text{K}^+$  selective channels in RER of hepatocytes. The aim of this study is to find an evidence for presence of potassium channel in endoplasmic reticulum and considering the pharmacological and biophysical properties of this channel.

**Methods:** Hepatocytes RER vesicles were isolated by homogenizing rat liver followed by several centrifuging steps and then incorporated into the bilayer lipid membrane (BLM). The BLM was formed by painting phosphatidylcholine across the 350  $\mu\text{m}$  aperture separating two chambers (cis chamber containing 200 mM KCl and trans chamber containing 50 mM KCl). Single channel recordings were used to indicate the presence of  $\text{K}^+$  channels.

**Results:** Single channel recordings revealed the existence of a cation selective channel with high permeability to  $\text{K}^+$  and 599 pS conductance. The current–voltage relation was linear. The open probability was strongly voltage dependent, showing higher values at positive voltages and lower at negative voltages. A subconductance state about 60 % of fully open state was observed at all voltages. The cationic channel showed an inhibition by 4-aminopyridine (non specific  $\text{K}^+$  channel blocker)

**Conclusions:** In this study we have established an evidence for existence of large conductance  $\text{K}^+$  channel in the hepatocyte ER vesicles.

**Keywords:** hepatocyte, endoplasmic reticulum, BLM, single channel recording,  $\text{K}^+$  channel.

---

\* Corresponding Author Email: afeliassi@hotmail.com

## شاهدی بر وجود کانال پتاسیمی در شبکه اندوپلاسمیک بر اساس ثبت از تک کانال در غشاء دو لایه لیپیدی

حمید سپهری<sup>۱</sup>، افسانه الیاسی<sup>\*</sup> و رضا صغیری<sup>۲</sup>

۱- دانشگاه علوم پزشکی شهید بهشتی، دانشکده پزشکی، گروه فیزیولوژی و مرکز تحقیقات علوم اعصاب

۲- انتیتو پاستور ایران، بخش بیوشیمی

دریافت: مرداد ۱۳۸۵ بازبینی: شهریور ۱۳۸۵ پذیرش: شهریور ۱۳۸۵

### چکیده

**مقدمه:** مطالعات زیادی وجود کانال های داخل سلولی نشان داده است. این کانالها در فرایندهای مختلف سلولی همانند سیگنالینگ کلسیم داخل سلولی، تخریب پروتئینها، خنثی سازی شارژ الکتریکی و محافظت سلولی نقش دارند. برخلاف شبکه سارکوپلاسمیک که وجود کانال های پتاسیمی بخوبی در آنها شناسائی شده است، اطلاعات کمی در مورد حضور کانال پتاسیمی در شبکه اندوپلاسمیک وجود دارد. هدف از این مطالعه بررسی وجود کانال پتاسیمی در شبکه اندوپلاسمیک و بررسی خصوصیات بیوفیزیک و فارماکولوژیک آن است.

**روشها:** پس از جدا کردن و هموژنیزاسیون کبد موش صحرائی و مراحل مختلف سانتریفوژ، وزیکولهای شبکه اندوپلاسمیک دانه دار غشاء دو لایه لیپیدی توسط فسفاتیدیل کولین بروی منفذی به قطر  $350 \mu\text{m}$  که بین دو محفظه تفلونی بنامهای محفظه cis که حاوی کلور پتاسیم ۲۰۰ میلی مولار و محفظه trans که حاوی کلرید پتاسیم ۵۰ میلی مولار بود تشکیل گردید. سپس با استفاده از روش ثبت از تک کانال (single channel recording)، حضور کانال پتاسیم در شبکه اندوپلاسمیک مورد بررسی قرار گرفت.

**یافته ها:** کانال کاتیونی با نفوذ پذیری بالا به پتاسیم، با کندکتانس  $599 \text{ pS}$  مشاهده گردید که منحنی جریان - ولتاژ آن خطی بود و احتمال باز بودن کانال وابستگی به ولتاژ داشته بطوریکه در ولتاژهای مثبت بالاتر از  $30 \text{ mV}$  بروی منفذی ولت بشدت افزایش می یافتد. در تمام ولتاژها یک state subconductance state به اندازه  $60\%$  وضعیتی که کانال بطور کامل بازبود (fully open state)، مشاهده گردید. کانال کاتیونی با  $4\text{-آمینوپیریدین}(4\text{-aminopyridine})$  مهار کننده غیر اختصاصی کانال پتاسیمی مهار گردید.

**نتیجه گیری :** با استفاده از ثبت از تک کانال شاهدی دال بر حضور کانال پتاسیمی با کندکتانس بالا در شبکه اندوپلاسمیک دانه دار هپاتوسیتها به دست آمد.

**واژگان کلیدی:** شبکه اندوپلاسمیک، هپاتوسیت، غشاء دو لایه لیپیدی، ثبت از تک کانال، کانال پتاسیم.

قلبی و اسکلتی حاوی کانالهای پتاسیمی [۱۵، ۱۶، ۲۰]، کلری [۱۴، ۲۴] و کلسیمی [۱۲، ۲] می باشند. کانالهای پتاسیم و کلر در غشاء SR در طول فرآیند آزاد سازی و برداشت کلسیم از نزدیک شدن پتانسیل غشاء SR به پتانسیل تعادلی کلسیم ( $E_{\text{Ca}}$ ) جلوگیری می کنند [۲۱، ۵]. در دهه اخیر کانال پتاسیمی وابسته به ATP در غشاء داخلی میتوکندری (mitoK<sub>ATP</sub>) شناسائی شده است [۱۱، ۱۹]. بر اساس اطلاعات موجود این کانال در حفظ هوموستاز پتاسیم در میتوکندری و بنابراین در حفظ شارژ الکتریکی بدنیال فعالیت پمپ هیدروژنی نقش دارد [۳]. همچنین مطالعات اخیر نشان داده اند mitoK<sub>ATP</sub> در حفاظت سلولهای قلبی در شرایط انفارکتوس دخالت داشته [۸، ۷] و محل اثر بسیاری از عوامل

### مقدمه

الحاق پروتئین کانال به داخل غشاء دو لایه لیپیدی (bilayer lipid membrane-BLM) تکنیک با ارزشی است که برای آنالیز عمل کانالهای یونی در غشاءای داخل سلولی که با تکنیکهای دیگر قابل دسترسی نیستند به کار می رود. مطالعات زیادی حاکی از حضور کانالهای یونی در غشاء ارگانل های داخل سلولی است. برای مثال، شبکه سارکوپلاسمیک (sarcoendoplasmic reticulum-SR) عضله

\* پست الکترونیک تویینده مسئول مکاتبات:  
afeliassi@hotmail.com

از زرده تخم مرغ استخراج گردید [۲۶]. برای تشکیل غشاء دو لایه لیپیدی از روش Muller استفاده شد [۱۸]. فسفاتیدیل کولین با غلظت mg/ml ۲۵ در n-decan حل شده و با استفاده از سوزن فلزی (stainless steel) به قطر  $150\text{ }\mu\text{m}$  با منفذی به قطر  $350\text{ }\mu\text{m}$  که بر روی دیواره ای از جنس تفلون تعییه شده بود تماس داده شد و غشاء تشکیل گردید. دو طرف منفذ به ترتیب در فضای cis (فضای سیتوپلاسمی) محلول  $200\text{ mM}$  کلرید پتاسیم و در فضای trans (فضای داخل لومن) محلول  $50\text{ mM}$  کلرید پتاسیم قرار داشت. محلولهای کلرید پتاسیم حاوی  $10\text{ mM}$  Hepes  $10\text{ pH}$  آن با استفاده از trizma به  $7/4$  رسانده شد.

تشکیل غشاء با استرئو میکروسکوپ مشاهده می شد. غشائی که در حدود  $100\text{ mV}$  ولتاژ را تحمل می کرد و فاقد نشت بوده و ظرفیت خازنی آن در حدود  $300$  الی  $400$  پیکو فاراد بود، غشاء مناسب بوده وجهت آزمایش استفاده می شد.

### استخراج اندوپلاسمیک رتیکولوم از هپاتوسیت

در این مرحله موشهای نر نژاد Wistar با وزن تقریبی  $180\text{ g}$  مورد استفاده قرار گرفتند. حیوانات  $24$  ساعت قبل از آزمایش گرسنه نگه داشته شده و در روز آزمایش با استفاده از گیوتین کشته می شدند، سپس کبد آنها جدا می شد و پس از هموژناسیون بافت و ساتریفوژ آن در مراحل مختلف، وزیکول های ER استخراج و در محلول سوکروز ایمیدازول در دمای  $-70^{\circ}\text{C}$  - نگهداری می شد [۱۲].

### ( single channel recording ) ثبت فعالیت کanal

جهت الحق کanal به غشاء دو لایه لیپیدی ، یک سوزن stainless steel به قطر  $100\text{ }\mu\text{M}$  به وزیکولهای استخراج شده آغازه گردیده و با غشاء دو لایه تماس داده می شد. به این ترتیب، بطور تصادفی یک یا دو کanal وارد غشاء می شد. جهت ثبت از فعالیت کanal از الکترودهای Ag/AgCl استفاده می شد. این الکترودها به وسیله پل نمکی آگار -  $3\%$  آگار در محلول سه مولار کلرور پتاسیم - (agar salt bridge) به محفظه های cis و trans متصل می گردید، الکترود متصل به محفظه cis الکترود مرجع بوده و الکترودی که به محفظه trans متصل می گردید الکترودی بود که ولتاژ را اعمال می کرد. دامنه ولتاژ به کار رفته بین  $-30$  -  $+60$  میلی ولت قرار داشته است که با فواصل ده میلی ولتی اعمال می گردید. الکترودها از طریق پری آمپی فایر به دستگاه آمپلی فایر (Warner Instruments) متصل می گردیدند و به میزان  $20$  الی  $100$  برابر تقویت گردیده و جریان خروجی از آمپلی فایر با فیلتر pole  $4$  پایین گذار Bessel به میزان  $1\text{ KHz}$  فیلتر شده و سپس جریانهای ثبت شده با استفاده از دستگاه ای تودی (analog to digital A/D) دوازده بیتی با دامنه  $\pm 5\text{ mV}$  دیجیتالیزه شده و با سرعت نمونه برداری (sampling rate)  $5\text{ KHz}$  برابر به کامپیوتر منتقل و ذخیره گردیدند. تمام آزمایشات BLM در دمای اطاق (در حدود  $23^{\circ}\text{C}$ ) انجام شدند .

فارماکولوژیک نیز هست [۱۳]. به علاوه، اخیراً نشان داده شده است کanal (BK) big  $K^{+}$ channel در غشاء داخلی میتوکندری وجود دارد که در مرگ برنامه ریزی شده سلول (apoptosis) نقش مهمی به عهده دارد [۲۵].

با توجه به اینکه شبکه اندوپلاسمیک (endoplasmic reticulum-ER) در بسیاری از فرآیندهای سلولی همانند سنتز پروتئین و هموستاز کلسیم نقش دارد [۴]، شناخت کanalهای یونی موجود در غشاء شبکه اندوپلاسمیک از اهمیت زیادی برخوردار است. تاکنون وجود کanal های کلر در غشاء ER هپاتوسیت به اثبات رسیده است و پیشنهاد شده که در خنثی سازی شارژ الکتریکی در هنگام خروج کلسیم نقش دارند [۱۷۶] اما شواهدی حاکی از حضور کanal پتاسیمی در این غشاء گزارش نشده است. یافتن چنین کanalی می تواند در کنار کلر در حقظ خنثی سازی شارژ الکتریکی که در هنگام آزادشدن کلسیم از اندوپلاسمیک رتیکولوم ایجاد می شود نقش داشته باشد و از این طریق بر هموستاز کلسیم تاثیر داشته باشد . در پژوهش حاضر وجود کanal پتاسیمی در شبکه اندوپلاسمیک و خواص الکتروفیزیولوژی آن ، بعد از جا گذاری در غشاء مصنوعی (BLM) با استفاده از تکنیک ثبت از تک کanal (single channel recording) مورد بررسی قرار گرفت.

### مواد و روشها

### مواد

در این تحقیق از  $4\text{-Aminopyridine}$ ; 4-AP (4-aminopyridine; 4-AP) عنوان بلوکر غیر اختصاصی کanal پتاسیمی، تریسما (tris) و هپس (Hepes; N-Z-hydroxyethylpiperazine-N-Z-ethanesulfonic acid) که همگی محصول شرکت سیگما بودند و n-decan محصول شرکت مرک استفاده گردید . آب مقطر به کار رفته برای تهیه محلول کلرید پتاسیم دیونیزه بوده است.

### روش ها

این تحقیق در سه مرحله مختلف انجام شده است: تشکیل غشاء دو لایه لیپیدی (BLM)، استخراج شبکه اندوپلاسمیک دانه دار (rough endoplasmic reticulum - RER) به صورت وزیکولهای کوچک از هپاتوسیت و ثبت از تک کanal (single channel recording) جا گذاری شده در BLM .

### تشکیل غشاء دو لایه لیپیدی (BLM)

"برای تشکیل BLM از یک و یا مخلوطی از لیپیدهای طبیعی و یا مصنوعی استفاده می گردد. در این پژوهه جهت تشکیل BLM از فسفاتیدیل کولین استفاده شده است. ماده فوق بر اساس روش Singleton

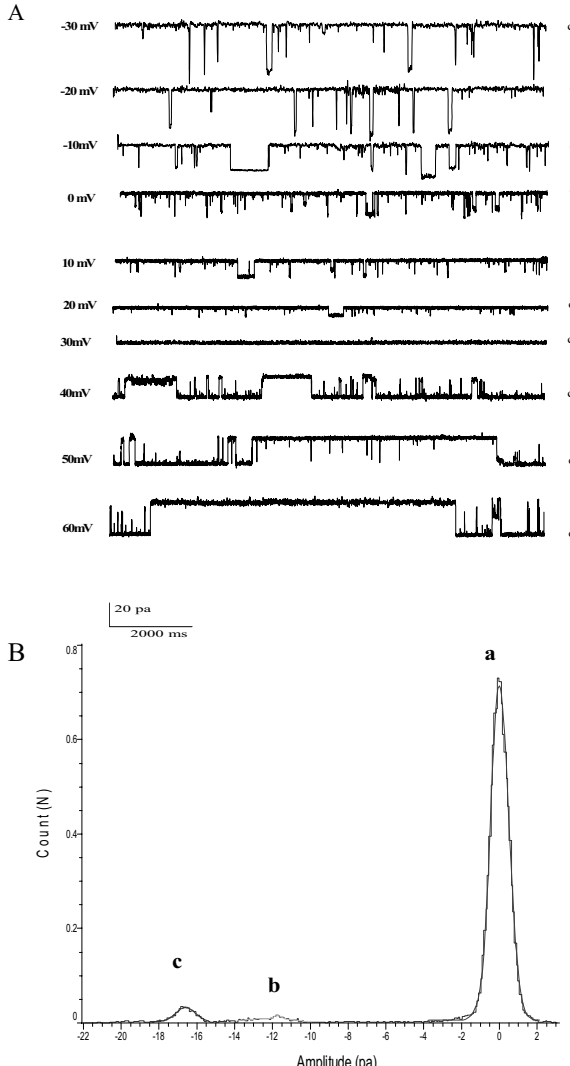
## تجزیه و تحلیل داده ها

ثبت های گرفته شده با استفاده از برنامه نرم افزاری clampfit9 مورد تجزیه و تحلیل قرار گرفتند. جریانهای ثبت شده بسته به میزان نویز پایه به مقدار ۴۰۰-۸۰۰ KHz فیلتر پایین گذر (low pass filter) شدند و جهت به دست آوردن احتمال باز بودن کanal (کسری از زمان که کanal در حالت هدایتی سپری می نماید و از محاسبه نسبت تعداد نقاط ثبت شده در وضعیت هدایتی به کل تعداد نقاط در ثبت بدست می آید) و میانگین جریان در هر ولتاژ، میزان توزیع شدت جریان عبوری (current amplitude histogram) (آن با برنامه Clampfit 9 رسم و با استفاده از رابطه Gaussian فیت گردید. منحنی ولتاژ - احتمال باز بودن کanal نیز با برنامه Clampfit 9 ترسیم گردید، نقاط آن با استفاده از  $P_o = V_{min} + \frac{V_{max} - V_{min}}{1 + e^{\frac{Zd}{kT}(V - V_{mid})}}$  ( $V_{mid} = 37.8 \pm 1.08$ ,  $Zd = -6.66$ ) منطبق (Fit) گردید و منحنی جریان - ولتاژ با ترم افزار Excel رسم شد. در هر ولتاژ ۵ ثبت گرفته شده است و نتایج بصورت mean  $\pm$  SE نشان داده شده اند.

## نتایج

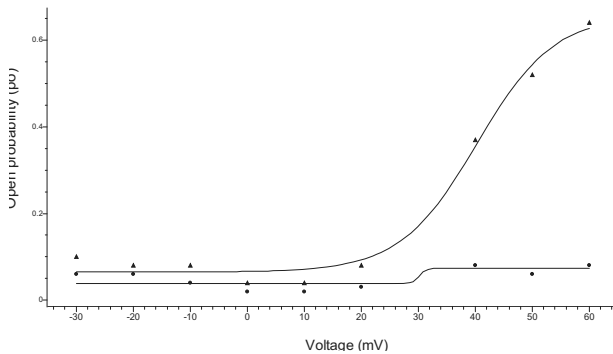
### خصوصیات الکترو فیزیولوژیک تک کanal

فعالیت کanal بعد از الحقاق وزیکولهای شبکه اندو پلاسمیک به غشاء مصنوعی در محیط غیر همگون کلرید پتانسیم (۲۰۰ mM KCl cis/۰۵ mM KCl trans) ثبت گردید. شکل A-1 جریانهای ثبت شده در ولتاژهای مختلف غشاء را نشان می دهد. در ولتاژ صفر میلی ولت بدون اینکه هیچگونه اختلاف ولتاژی اعمال شده باشد جریان رو به پایین و منفی ثبت گردیده که ناشی از حرکت یونها در جهت گرادیان غلظتی از محفظه سیس به ترانس است. میزان جریان در ولتاژ نزدیک به ۳۰ میلی ولت به شدت کاهش یافته و در ولتاژ ۳۰ میلی ولت به صفر رسیده است، در ولتاژ بیشتر از ۳۰ میلی ولت جریانهای ثبت گرفته شده رو به بالا می باشند. نمودار هیستوگرام آمپلی تود جریان در صفر میلی ولت در شکل A-1 نمایش داده شده است. بطور آشکار سه پیک جریانی a,b,c مشاهده می گردد. هریک از پیکهای جریان با استفاده ازتابع Gaussian فیت شده و میانگین جریان بدست آمد. میانگین جریان صفر پیکوآمپر (پیک a) معادل جریان پایه بوده که در این وضعیت کanal بسته است و میانگین جریان پیک c، که در طور کامل باز است (fully open state) و میانگین جریان پیک b، برابر با  $17/2 \pm 1$  pA است که معادل وضعیت هدایتی ناکامل کanal (subconductance level) است که معادل وضعیت هدایتی ناکامل کanal نشان میدهد که کanal در ولتاژهای مثبت و منفی دارای یک طور کامل باز است (fully open state) می باشد. شکل ۲ رابطه

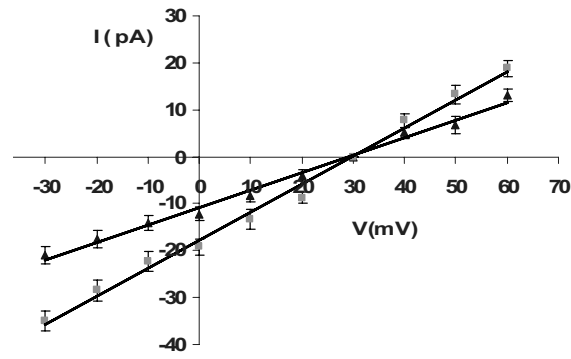


شکل ۱ - A: ثبت از تک کanal (single channel recording) در ولتاژهای مختلف در محیط (cis/trans ۰.۵ mM KCl/۲۰۰ mM KCl). جریانهای ثبت شده بسته به میزان نویز پایه بصورت offline به مقدار ۴۰۰-۸۰۰ KHz فیلتر low pass filter (low pass filter) شده اند. C در سمت راست نشان دهنده وضعیت بسته کanal بوده. B: هیستوگرام آمپلی تود جریان ثبت تک کanal در ولتاژ صفر میلی ولت پیک a مربوط به جریان پایه و پیک b متعلق به ولتاژ تک کanal در ولتاژ صفر میلی ولت بدون اینکه هیچگونه اختلاف ولتاژی اعمال شده باشد جریان رو به پایین و منفی ثبت گردیده که ناشی از حرکت یونها در جهت گرادیان غلظتی از محفظه سیس به ترانس است. میزان جریان در ولتاژ نزدیک به ۳۰ میلی ولت به شدت کاهش یافته و در ولتاژ ۳۰ میلی ولت به صفر رسیده است، در ولتاژ بیشتر از ۳۰ میلی ولت جریانهای ثبت گرفته شده رو به بالا می باشند. نمودار هیستوگرام آمپلی تود جریان در صفر میلی ولت در شکل A-1 نمایش داده شده است. بطور آشکار سه پیک جریانی a,b,c مشاهده می گردد. هریک از پیکهای جریان با استفاده ازتابع Gaussian فیت شده و میانگین جریان بدست آمد. میانگین جریان صفر پیکوآمپر (پیک a) معادل جریان پایه بوده که در این وضعیت کanal بسته است و میانگین جریان پیک c، که در طور کامل باز است (fully open state) و میانگین جریان پیک b، برابر با  $17/2 \pm 1$  pA است که معادل وضعیت هدایتی ناکامل کanal (subconductance level) است که معادل وضعیت هدایتی ناکامل کanal نشان میدهد که کanal در ولتاژهای مثبت و منفی دارای یک طور کامل باز است (fully open state) می باشد. شکل ۲ رابطه

جریان - ولتاژ را برای وضعیت کاملاً باز و  $E_{K+} = 34$  mV برابر با  $17/2 \pm 1$  pS است. همچنین در شکل نشان داده شده است که پتانسیل معکوس به دست آمده نزدیک به پتانسیل تعادلی پتانسیم (reverse potential) برای هر دو وضعیت هدایتی کانال  $368 \pm 11$  mV است. که پتانسیل معکوس به دست آمده نزدیک به پتانسیل تعادلی پتانسیم  $E_{K+} = 34$  mV در شرایط یونی  $\frac{[K^+]_i}{[K^+]_o} = \frac{200}{50}$  mM است، می

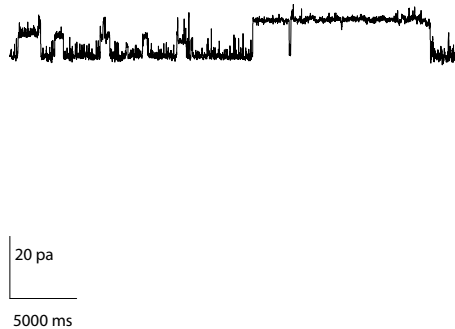


شکل ۳ - منحنی رابطه ولتاژ با احتمال باز بودن کانال. نقاط توسط رابطه Z - delta Boltzman فیت گردیده است. Z - subconductance level با مریع و مثبت نمایش داده شده است.

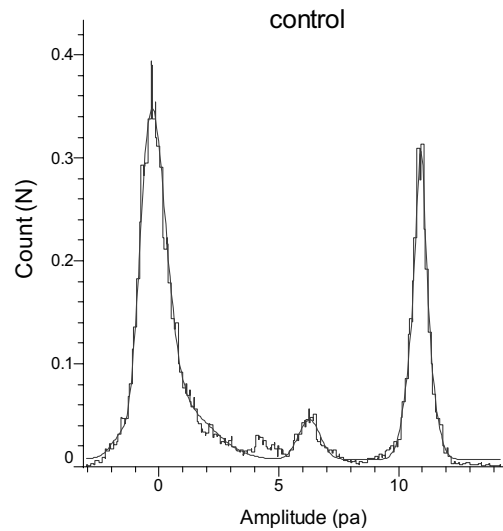


شکل ۴ - منحنی جریان - ولتاژ در محیط subconductance state (۲۰۰ mM KCl cis/۵ mM KCl trans) با مریع و نقاط بصورت mean  $\pm$  SE نمایش داده شده است (n=5)

A



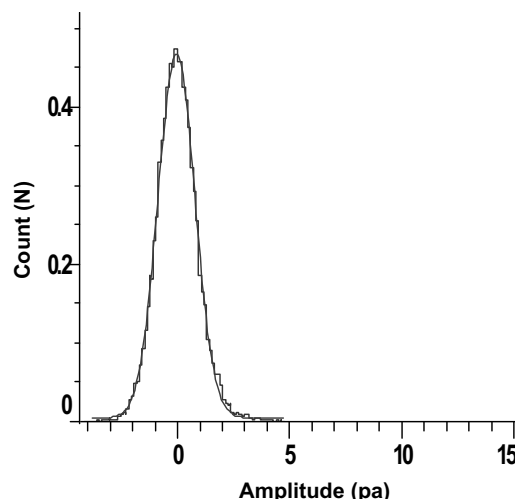
B



C



D



شکل ۴ - ثبت از فعالیت کانال و هیستوگرام آمپلی تود جریان در حضور وغایب ۴- آمینوپیریدین (4-AP) در ولتاژ ۴۰ mV در شرایط A, B, C و D. ۴-AP : پس از اضافه نمودن ۵mM 4-AP به فضای سیس.

همانطور که مشاهده گردید هدایت یا کنداکتانس کanal در حالت کاملاً باز در محیط (cis/ $50\text{ mM KCl}$  trans) ( $200\text{ pS}$ ) بala و برابر با  $599\text{ pS}$  بود. در بسیاری از موارد جریانی با دامنه معادل  $60\%$  دامنه کanal در وضعیت کاملاً باز مشاهده شد که هدایت آن  $368\text{ pS}$  بود (subconductance level). رابطه جریان - ولتاژ برای هر دو وضعیت کanal اهمیک (خطی) بوده و هیچ گونه rectification در محدوده ولتاژ اعمال شده مشاهده نگردید. کanal مشاهده شده در پاره ای از خصوصیات با کanalهای پتاسیمی گزارش شده در شبکه سارکوپلاسمیک شباهتهای دارد از جمله اینکه نظیر کanal پتاسیمی SR دارای subconductance (باز از  $23, 20, 9, 2$  mV) و رابطه جریان - ولتاژ آن خطی است [۲۳، ۲۰]. منحنی بوده ( $23, 20, 9, 2$  mV) در کanal پتاسیمی گزارش شده توسط Cote و همکاران در شبکه سارکوپلاسمیک عضله دهلیزی انسان مقداری rectification در ولتاژ کanal پتاسیمی که Picher و همکاران در SR عضله دیافراگم گزارش داده اند در محلول سیمتریک  $250\text{ mM KCl}$  گلوکونات پتاسیم در دامنه ولتاژی  $\pm 100\text{ mV}$  خطی بوده است [۲۱] اما منحنی جریان - ولتاژ در کanal پتاسیمی گزارش شده توسط Cote و همکاران در شبکه سارکوپلاسمیک عضله دهلیزی انسان مقداری rectification در ولتاژی بالای  $+20\text{ mV}$  و پایینتر از  $-40\text{ mV}$  داشت [۲]. کanal پتاسیمی مشاهده شده توسط Picher و همکاران همانند کanal مشاهده شده توسط ما دارای یک subconductance بود اما دامنه آن در حدود  $40\%$  وضعیت هدایتی کامل کanal بود [۲۱] و کanal پتاسیمی که Cote و همکاران در SR سلولهای عضله دهلیزی گزارش کردند دارای یک subconductance به اندازه  $50\%$  وضعیت هدایتی کامل کanal بود [۲].

کنداکتانس کanalی که ما مشاهده کردیم ( $599\text{ pS}$ ) بالاتر از میزان هدایت برخی از کanalهای پتاسیمی است که تاکنون در ارگانلهای داخل سلولی گزارش شده اند، کنداکتانس کanal پتاسیمی شبکه سارکوپلاسمیک عضله در حدود  $pS 90-255$  [۲۳، ۹، ۳، ۲] و کanal پتاسیم غشاء داخلی میتوکندری سلولهای گلیوما در محیط cis/ $50\text{ mM KCl}$  trans) برابر  $260-320\text{ pS}$  بوده است [۲۵]. اما Hordejuk و همکاران با استفاده از تکنیک BLM در غشاء گرانولهای کرومافین آدنال کanal پتاسیمی وابسته به ولتاژی را گزارش داده اند که همانند کanal مشاهده شده توسط ما دارای کنداکتانس بالا بوده به طوریکه که در محیط سیمتریک ( $540\text{ M KCl}$ ) دارای هدایت  $430\text{ pS}$  بود [۱۰]. آنها همانند ما از فسفاتیدل کولین به عنوان ترکیب غشاء دو لایه لیپیدی استفاده نموده اند که می تواند یکی از دلایل بالا بودن کنداکتانس کanal باشد چرا که ترکیب غشاء مورد استفاده می تواند بروی کنداکتانس کanal تاثیر بگذارد [۲۸]. Eliassi و همکاران کنداکتانس کanal کلر RER هپاتوسیت در غشاء دو لایه لیپیدی تشکیل شده از مخلوط فسفاتیدل کولین و فسفاتیدل اتانول آمین در محیط ( $200\text{ mM KCl}$  cis/ $50\text{ mM KCl}$  trans) ( $200\text{ pS}$ ) را در حد  $90\pm 12\text{ pS}$  گزارش کرده اند [۶] در حالی که این کanal در موارد نادری که در ثبت های ما مشاهده شد دارای کنداکتانس حدوداً  $196\text{ pS}$  بود (اطلاعات نشان

توان گفت کanal نسبت به پتاسیم نفوذ پذیر بوده و کاتیونی است. با جاگذاری پتاسیل معکوس به دست آمده در معادله گولدمن - هوچکین - کترن  $\frac{RT}{F} \ln \frac{P_E [K^+]}{P_K [K^+] + P_C [C^-]}$  نسبت نفوذ پذیری  $K^+/Cl^-$  کanal بیشتر از  $10\%$  خواهد بود. در نتیجه کanal مشاهده شده دارای نفوذ پذیری بالائی نسبت به پتاسیم در مقایسه با کلر بوده و کاتیونی است.

### وابستگی به ولتاژ احتمال بازبودن کanal

اثر ولتاژ بروی ویژگیهای باز و بسته شدن کanal با اندازه گیری احتمال باز بودن کanal ( $P_o$ ) (open probability) در ولتاژهای مختلف در محیط ( $200\text{ mM KCl}$  cis/ $50\text{ mM KCl}$  trans) موردن بررسی قرار گرفت. احتمال باز بودن کanal در وضعیت کاملاً باز (fully open) در ولتاژهای مثبت بالا بوده و با تغییر پتاسیل غشاء به سمت ولتاژهای منفی احتمال باز بودن کanal کاهش پیدا کرد، درنتیجه منحنی ولتاژ - احتمال باز بودن (شکل ۳) به شکل سیگموئید در آمده است. مراکزیمم احتمال باز بودن کanal در ولتاژ  $60\text{ mV}$  + میلی ولت برابر با  $0/0.67$  و در محدوده ولتاژ  $+20\text{ mV}$  -  $30\text{ mV}$  برابر با  $0/0.2$  تا  $0/0.1$  بوده است که نشان می دهد احتمال باز بودن کanal وابسته به ولتاژ است. در وضعیت subconductance state احتمال باز بودن در ولتاژ  $30\text{ mV}$  - میلی ولت  $0/0.6$  بوده و در پتاسیل  $60\text{ mV}$  + میلی ولت میزان آن به  $0/0.8$  رسیده است که می توان نتیجه گرفت که هیچگونه وابستگی به ولتاژ ندارد.

### اثر 4-Ap(4-Aminopyridine) بر روی فعالیت کanal

شکل ۴ اثر 4-AP را در محفوظه cis در غلظت  $5\text{ mM KCl}$  بر روی فعالیت کanal در ولتاژ  $+40\text{ mV}$  + نشان می دهد. میزان جریان قبل از اضافه کردن 4-AP ۴-AP برای subconductance level برابر با  $1/2\pm 0.5$  پیکو آمپر و احتمال باز بودن آن  $0/0.4\pm 0.1$  و برای fully open state میزان جریان  $0/0.9\pm 0.09$  پیکو آمپر و احتمال باز بودن آن  $0/0.42$  بود (شکل ۴ A - B). پس از اضافه کردن 4-AP میزان جریان  $0/0.9\pm 0.09$  پیکو آمپر و احتمال باز بودن آن  $0/0.42$  بود که تغییر معنی داری در میزان جریان و احتمال باز بودن کanal ایجاد نگردید، در صورتیکه جریان  $fully open state$  بطور کامل حذف گردید (شکل ۴ C - D).

### بحث

در تحقیق حاضر به دنبال الحاق وزیکولهای شبکه آندوبلاسمیک به داخل غشاء دو لایه لیپیدی تنها یک نوع کanal کاتیونی با هدایت بالا مشاهده گردید. آزمایشات ما نشان داد رفتار این کanal وابسته به ولتاژ بوده و احتمال باز بودن آن ( $P_o$ ) در ولتاژهای مثبت بیشتر است. به علاوه 4-AP که به عنوان مهار کننده غیر انتخابی کanal پتاسیم عمل می کند این کanal را مهار کرد که نشان دهنده پتاسیم بودن کanal است.

- $\text{Ca}^{2+}$  - release channel – ryanodine receptor – in human atrial cells. *J Mol Cel Cardiol* 32 (2000) 2051-2063.
- [3] Czyz A, Szewczyk A, Nalecz MJ , Wojtczak , The role of mitochondrial potassium fluxes in controlling the protonmotive force in energized mitochondria. *Biochem Biophys Res Commun* 210 (1995) 98-104.
- [4] De Martin PE , Novick P, Ferro-Novick S, The organization, structure, and inheritance of the ER in higher and lower eukaryotes . *Biochem Cell Biol* 83 (2005) 752-761.
- [5] Decrouy A, Juteau S, Tejeira J, Rousseau E, Biochemical regulation of sarcoplasmic reticulum  $\text{Cl}^-$  Channel from human atrial myocytes involvement phospholamban. *J Mol Cell Cardiol* 28 (1996) 267-280
- [6] Eliassi A, Garneau L, Roy G, Souve R, Characterization of a chloride – selective channel from rough endoplasmic reticulum membranes of rat hepatocytes: evidence for a block by phosphosphate. *J Membr Biol* 159 (1997) 219-229.
- [7] Garlid KD, Pucek P, Yarov-Yarovoy V, Murray HN, Darbenzio RB, D'Alonzo AJ, Lodge NJ, Smith MA, grover GJ, Cardioprotective effect of diazoxide and its interaction with mitochondrial ATP-sensitive  $\text{K}^+$  channels possible mechanism of cardioprotection. *Circ Res* 81(1997)1072-1082.
- [8] Ghosh S, Standen NB, Galinanes M, Evidence for mitochondrial  $\text{K}_{\text{ATP}}$  channels as effectors of human myocardial preconditioning. *Cardiovasc Res* 45 (2000) 934-940.
- [9] Hill JA, Coronado R, Struss HC, Open – channel subconductance state of  $\text{K}^+$  channel from cardiac sarcoplasmic reticulum. *Am J Physiol* 258 (1990) H159-H164.
- [10] Hordejuk R, Lobanov NA, Kicinska A, Szewczyk A, Dolowy K, pH modulation of large conductance potassium channel from adrenal chromaffin granules. *Mol Membr Biol*

داده نشده است.

همانطور که مشاهده گردید احتمال باز بودن کانال از ۰/۰۲ در ولتاژ صفر میلی ولت به ۶/۷۰ در ولتاژ  $+60 \text{ mV}$  رسید، به طوریکه منحنی احتمال باز بودن – ولتاژ آن همانند کانالهای پتاسیمی شبکه سارکوپلاسمیک به شکل سیگموئید بوده و با مثبت شدن غشاء احتمال باز بودن کانال افزایش پیدا می کند [۳۳، ۳۲، ۲۰، ۲]. این نتایج مشابه نتایج حاصل از کانال  $\text{BK}_{\text{Ca}}$  mito است که قبلاً "در میتوکندری سلولهای گلیوما و قلبی گزارش شده است بطوریکه احتمال باز بودن کانال آنها نیز در ولتاژ های بالای  $+30 \text{ mV}$  + افزایش پیدا میکرد [۲۵]. برای مطالعه خواص فارماکولوژیک کانال اثر 4-AP مهارکننده جریان  $\text{IK}_{\text{to}}$  transient outward پتاسیمی ([۱]) [۱] مورد بررسی قرار گرفت. 4-AP با غلظت  $5 \text{ mM}$  در محفظه cis سبب مهار 4-AP کانال در حالت کاملاً "باز گردید. نتیجه بدست آمده مشابه اثر 4-AP برروی کانال پتاسیمی  $\text{SR}$  عضله اسکلتی قورباغه است [۲۷] در حالیکه این غلظت از دارو برروی کانال پتاسیمی  $\text{SR}$  دهیزی انسان اثر مهاری نداشته است [۲۰].

در ارتباط با نقش فیزیولوژیک این کانال میتوان گفت با توجه به اینکه احتمال باز بودن کانال کلر گزارش شده در شبکه اندوپلاسمیک هپاتوسیت به عکس کانالی که ما مشاهده کردیم در ولتاژ های مثبت کاهش می یابد [۱۷۶] ، احتملاً "با مثبت شدن پتانسیل لومن ، کلسیم از داخل ER خارج شده و پتاسیم به آن وارد می گردد، در حالیکه با منفی شدن شدن لومن ER، کلسیم و کلر وارد شده و الکترونوتراپی غشاء ER حفظ می گردد در نتیجه، پتانسیل غشاء ER از پتانسیل تعادلی نزدیک شدن لومن ER کلسیم دور نگاه داشته شده و محیط برای آزادسازی و برداشت کلسیم مناسب می شود .

در تحقیق حاضر برای اولین بار وجود کانال پتاسیمی در غشاء RER هپاتوسیتها گزارش گردیده است، نتایج ما بیانگر رفتار وابسته به ولتاژ کانال و میزان هدایت بالای آن می باشند. با توجه به شواهدی که برای عملکرد کانالهای پتاسیمی غشاء ارگانلها در فرآیندهای فیزیولوژیک وجود دارد شناسائی این کانال مقدمه ای برای انجام تحقیقات گسترشده تر به منظور تعیین سایر خصوصیات بیوفیزیک و فارماکولوژیک کانال وبررسی ساختار مولکولی و نیز شناخت نقش فیزیولوژیک این کانال محسوب می گردد.

## منابع

- [1] Bowman WC, Savage AO, Pharmacological actions of amonopyridine and related compounds. *Rev Pure Appl Pharmacol Sci* 2(1981) 317-371.
- [2] Cote K, Proteau S, Teijeira J, Rousseau E, Charachterization of the sarcoplasmic  $\text{K}^+$  and

- specific electro – pharmacological profile. *J Mol Cell Cardiol* 34 (2002) 1163-1172.
- [21] Picher M, Decrouy A , Rousseau E, Conducting and voltage – dependent behavior of potassium ion channels reconstituted from diaphragm sarcoplasmic reticulum : comparison with the cardiac isoform. *Biochimica Biophysica Acta* 1279 (1996) 93-103.
- [22] Picher M, Decrouy A, Proteau S, Rousseau E, Conducting and voltage – dependent behaviors of the native and purified SR  $\text{Ca}^{2+}$ - release channels from the canine diaphragm. *Biochim Biophys Acta* 1328 (1997) 243-260.
- [23] Qi –Yi liu F, Antony L, Win K S , Gerhard M, Harold C, Reconstitution of the solubilized cardiac reticulum potassium channel. *FEBS* 291(1991) 13-16.
- [24] Rousseau E, Single chloride –selective channel from cardiac sarcoplasmic reticulum studied in planar lipid lipid bilayer. *J Membr Biol* 110 (1989) 39-47.
- [25] Siemen D , loupatatzis C, Borecky J , Gulbins E , Lang F,  $\text{Ca}^{2+}$ activated  $\text{K}^+$  channel of BK –type in inner mitochondrial membrane of human glioma cell line . *Biochem Biophys Res Commun* 257 (1999) 549-554.
- [26] Singleton WS, Gray M S, Chromatographically homogenous lecithin from egg phospholipids. *Am Oil Chem Society* 42 (1965) 53-63.
- [27] Wang J, Best P M, Characterization of the potassium channel from skeletal muscle sarcoplasmic reticulum. *J Physiol* 477 (1994) 279-290.
- [28] Yuan C, O'Connell RJ, Feinberg-Zadek PL, Johnston LJ, Treistman SN, Bilayer thickness modulates the conductance of the BK channel in model membranes. *Biophys J* 86(2004) 3620-33.
- [21] (2004) 307– 313.
- [11] Inoue I, Nagase H , Kishi K , Higuti I, ATP-sensitive  $\text{K}^+$  channel in the mitochondrial inner membrane. *Nature* 352 (1991) 244-247.
- [12] Kan F, Jolicoeur WK , Paiment M, Freeze – fracture analysis of the effects of intermediates of the phosphatidylinositol cycle on fusion of rough endoplasmic reticulum membrane. *J Biochim Biophys Acta* 1107 (1992) 331-341.
- [13] Kicinska A, Debeska G, Kunz W, Szewczyk, Mitochondrial potassium and chloride channels . *Acta Biochim Pol* 47 (2000) 541-551.
- [14] Kourieh JI, Chloride channels in the sarcoplasmic reticulum of muscle. *Prog Biophys Molec Biol* 68 1997) 263-300.
- [15] McKinley D, Meissner G, Sodium and potassium ion permeability of sarcoplasmic reticulum vesicle . *FEBS Lett* 82 (1977) 47-50.
- [16] Miller C, Voltage- gated cation conductance channel from fragmented sarcoplasmic reticulum : steady - state electrical properties. *J Membr Biol* 40 (1978) 1-23.
- [17] Morrier N, Sauve R, Analysis of a novel double – barreled anion channel from rat liver rough endoplasmic reticulum . *Biophys J* 67 (1994) 590 -602
- [18] Muller P, Rudin D, Tien H ,Westcott W, Reconstitution of excitable cell membrane structure in vitro. *Circulation* 26 (1962) 1167- 1171.
- [19] Paucek P, Mironova G, Mahdi F, Beavis A D, Woldegiordis G, Grlid KD, Reconstitution and partial purification of glibanclamide –sensitive , ATP-dependent  $\text{K}^+$  channel from rat liver and beef heart mitochondria. *J Biol Chem* 267 (1992) 26062-26069
- [20] Picard L,Cote K, Teijeira J, Greentree D, Rousseau E, Sarcoplasmic reticulum  $\text{K}^+$  channels from human and sheep atrial cells display a